

2次元粒状体の応力伝達についての試み

京都大学防災研究所 正員 村山朝郎
京都大学大学院 淳生員・松岡 元

砂礫のような粒状体の力学特性のよって来たるべき機構を真に解明するためには、これらが粒子の集合体であるという原則に守らねばならない。この方向の研究のもう1つ問題点として主に次のようないふべきが考えられる。
(1) 粒度分布と粒子配置(構造)の関係、(2) 外力あるいは搅乱による粒子集合体中の個々の粒子の運動機構、
(3) 個々の粒子の運動の集合としての巨視的挙動。これら粒状体の力学挙動の本質に関する問題を解明するため、まず2次元粒状体について考察を進めた。これは写真-1に示すように例えはアルミ棒を用いれば現象観察が容易であり、またこれまでのアルミ棒積層体についての実験²⁾から粒状体としての特性を十分表現がるといふべきである。

1. 模擬サンプリング法による粒径と粒子配置の決定および粒子間力の伝達

箱の中に粒状体を埋め込むと個々の粒子は必ずしも箱の中央部から端部へ順次安定する位置に積み上げられるのである。この向の状況をシミュレートするため、模擬サンプリング法(モンテカルロ法)を採用了した。これまでに2種の径(中1.6mm, 中3mm)のアルミ棒の混合積層体について実験を行なっていゝので、二二では簡単のためこの2種の粒径の粒子の配置をシミュレートしたが、一般的の砂礫の場合にも同様に拡張できる。²⁾ 2種の径の混合重量比(60:40)を粒子数比(本数比)(84:16)に換算し、乱数表をひいて例えは84までの数字が出たときは中1.6mmの粒子を、84以上の数字のときは中3mmの粒子を順次抽出するににする。そしてその粒子配置は最下段では左から右に横につめて並べるものとし、それ上では左から右へ粒子の安定する位置に順次積み上げるようにした。このような方法で中1.6mmと中3mmの混合粒子が“2cm×1.5cmの箱の中へ入れられた場合の粒子配置をシミュレートしたのが図-1である。図中の連続番号は並べた順序を意味している。この間隔比を計算すると $E=0.23$ となり、実験で求めた間隔比とよく一致した。したがって図-1は1つの考え方である粒子配置であり、このようす方法で粒度分布と粒子配置の関係は推定可能であると考える。

次に、この図-1の状態にある粒子の自重による粒子間力の伝達を計算した。計算上の仮定として、粒子は剛体とし、この状態では粒子間の相対変位はないものと想えて粒子間の摩擦力を無視した。また伝達力の未知の接点が3個以上の場合には合力方向に近い2方向に伝達されるものとした。したがって図-1のすべての接点では力の伝達を無視している。なおアルミ棒(長さ5cm)の重量は中1.6mmで0.27N、中3mmで0.95Nである、伝達力はN単位でカッコの中に記入した。この計算結果より底面にかかる合力は34.23Nである、側面では左、11.37N、右、14.96Nである。これを $\gamma Z \times 5 = 12.26 \times K_0$ である。
 $K_0 = 1$ となるのは、実際には局所的にむずかしい粒子間の相対変位があるので、粒子間摩擦力

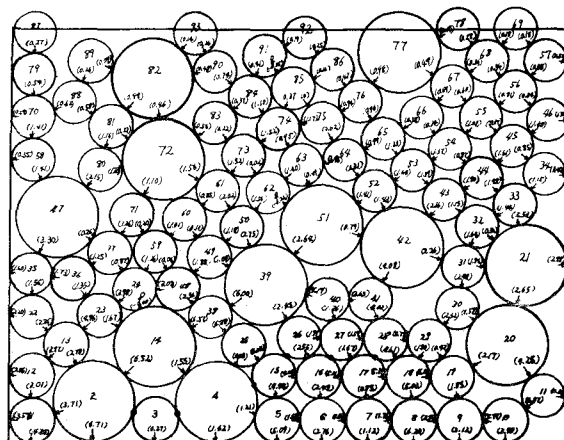


図-1 模擬サンプリング法による粒径と粒子配置の決定
および粒子の自重による粒子間力の伝達

を無視しているためと考える。

2. せん断中の粒子配置とせん断抵抗力

せん断中の粒子の運動機構を明らかにするため、写真-1に示すようにφ5 mmとφ9 mmのアルミ棒の混合積層体を試料として一面せん断試験を行なった。Newland & Allely³⁾が主張しているように、せん断抵抗力やダイレクシヤー量など我々が測定する巨視的量は個々の粒子の運動の集合である。せん断抵抗力 S について考えると、個々の粒子に働くせん断力を S_i 、垂直力を N_i とし、せん断面で相対運動をする粒チビウレの接点での接線方向と S の方向との角度を θ_i とし、粒子間の摩擦角を ϕ_m (アルミ棒の場合、 $\phi_m \approx 18^\circ$) とすると、 $S = \sum_i \{ N_i \tan(\phi_m + \theta_i) \}$ と表現できる。いままで²⁾の研究ではせん断面上の全ての粒子に等しい N_i が作用するより、 θ_i が全く等しいという仮定のもとに解析がはされていたが、ここでは N_i を粒子間力の伝達から計算し、 θ_i を写真から読み取ってより厳密にせん断抵抗力を求め、せん断力と垂直力の比 ($= \tan \phi$) の値を実測値と比較した。図-2は A 粒子に単位垂直荷重(10)が作用したとき、斜線をほどこしてせん断面上の粒子までのどのように伝達されるかを計算したものである。計算では粒子の自重は無視し、特別な場合を除いて粒子間摩擦力を無視している。この図において上り載荷板に伝達される力があるが、反力として二つに等しい力が載荷板から与えられるので上載荷重は事実上増加することになる。実験観察が、反力をうけもつかを除くと A, B, C 粒子だけに上載荷重が作用しているのがみられたので、B, C 粒子についても図-2 に同様の単位垂直荷重による粒子間伝達力を求め、それらを重ね合せてせん断面上の粒子に働く力だけを示したのが図-3である。この図をもとにしても計算した $\tan \phi$ は 0.63 となり、これに対して実測値は 0.62 で、両者はよく一致した。

1) 例えば、村山・松岡・小川：トンネル外周地盤の応力と変形について 土木学会論文集 第13号(昭和43年), 2) 松尾・駒田・高橋：砂層の変形に関するモードカルロ法的研究 土木学会年次講演概要(昭和41年), 3) Newland & Allely: Volume Change in Drained Triaxial Tests on Granular Materials Geotech. Vol.VII (1957)

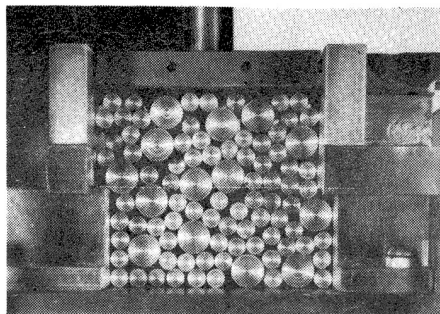


写真-1 せん断中の粒子配置

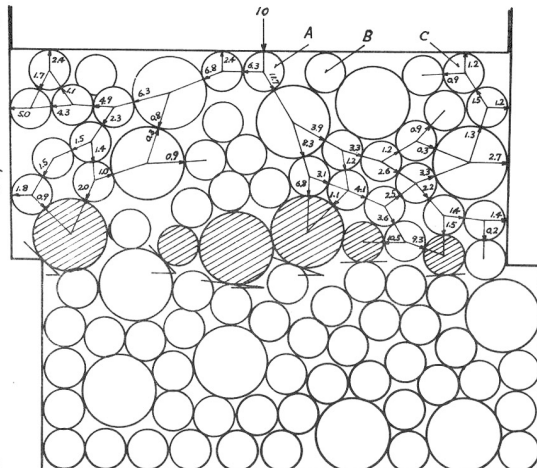


図-2 A粒子に働く単位垂直荷重(10)の伝達

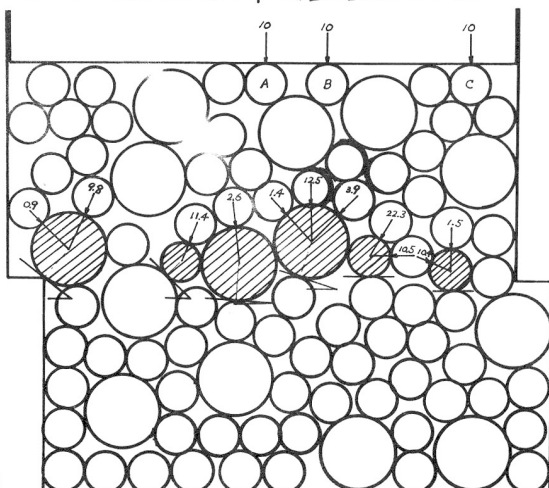


図-3 A, B, C 粒子に働く単位垂直荷重(10)により、せん断面上の粒子に伝達される粒子間力